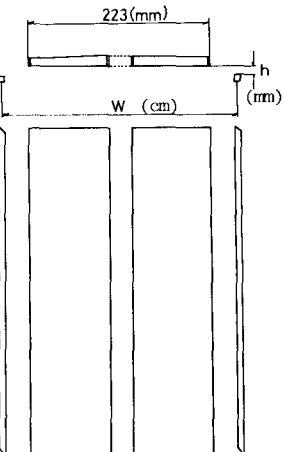


九州工業大学 正会員 加藤 九州男  
 ク 正会員 久保 喜延  
 ク 学生員 桜井 勝好

1. 考え方----筆者らは、長大吊橋におけるトラス補剛桁の制振対策と、構成部材の配置という観点に立ち検討を行なってきている。その結果、橋桁を構成する部材の配置を適当に選択することにより、耐風安定性を相当改善しうることが判明した。しかしながら、まだそれまで定量的に把握することは至っていない。そこで、本研究の目的は橋桁を構成する部材の配置 (=f) と、耐風性状 (=e) を因子を系統的に把握しようとするもので、特に主構上弦材と床版との相対的位置関係 (=g) を着目し、最適部材配置の存在および支配的なパラメータを定量的に把握でき実験式の探究を試みるものである。

2. 実験ケースと結果----実験における諸条件については、文献(1), (2), (3)に述べてあるので省略し、今回行なう、 $f$ は実験ケースについてのみ述べる。使用した模型は本州四国連絡橋の一設計案として出されている断面の1/100縮尺の2次元修正部分模型で、主構構成部材のうち、応答特性に最も大きな影響を与えると考えられる主構上弦材のみを取り出して、これと床版のみからなる修正断面BTM-type (Fig. 1) を用い、なお床版は、中央にグレーチングを設け、地盤および高欄を省略して箱型断面を使用した。主構間隔  $W = 26, 28, 30, 32, 34 \text{ cm}$  主構上面から床版下面までの高さ  $h = 0, 2, 4, 6 \text{ mm}$  に変化させ、実験は振れ自由度の自由振動法 (=f) と、迎角  $\alpha = 0^\circ \sim 6^\circ$  まで、 $1^\circ$  ごとに変化させることにより行ない。特に発振風速に着目して実験結果を整理している。なおここで定義している発振風速  $V_{cr}$  とは、振幅倍振幅  $2\phi = 1^\circ$  の定常振動が発生する風速のことである。Fig. 2 は BTM-type の床版高  $h = 0 \text{ mm}$  について、迎角  $\alpha = 3^\circ$  のときの主構間隔を変化させた場合の風速と応答の関係を示したものである。これによると、主構間隔  $W = 26, 28, 34, 32, 30 \text{ cm}$  の順に、応答は高風側に並んでいく。

この中で、空力的には最も安定な断面は BTM-30-D<sub>0</sub> となる。Fig. 3 は主構間隔  $W = 26 \text{ cm}$ 、迎角  $\alpha = 0^\circ$  のときの床版高さ  $h$  を変化させたときの応答を示したものである。いずれの床版高さにおいても、渦動振と思われる現象が見られますが、そのピーク値は床版高 D<sub>0</sub>, D<sub>4</sub>, D<sub>2</sub>, D<sub>6</sub> の順に小さくなる。床版高さには関しても最適部材配置が如実に存在することを示している。なお BTM-26-D<sub>0</sub> では、他の断面より主構上弦材が床版に近い上流側の腹端部および主構下端部から剥離が起こり、Bluff-body の上下端部から剥離のよう一体となり、 že いてはこれがこのような渦動振の現象が発生したものと推察される。



BTM-type  
Fig. 1 Cross-section of Modified Model

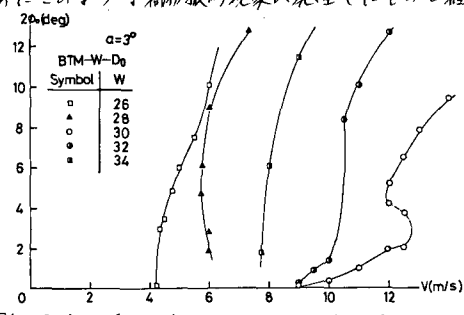


Fig. 2 Aerodynamic Responses of Model

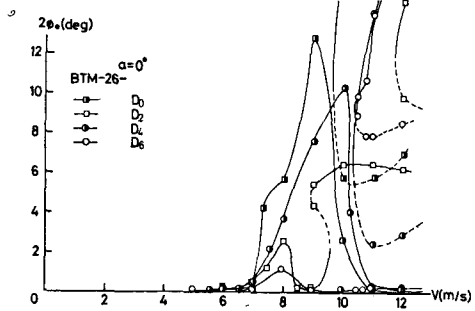


Fig. 3 Aerodynamic Responses of Model

### 3. 部材配置と発振風速----部材配置と発振風速を定量的に扱える

ことは数多くのパラメーターが相互に干渉しあうためにかなり困難であるが、風の作用を受けた物体に振動が発生する直前の風速を発振風速 WIND と定義すると、物体から剥離した流れの運動的效果は小さく、物体と流れとの関係を幾何学的に形で扱えることにより発振風速と部材配置との関係を考えても、ある程度妥当であるとしたと Fig. 4 に示す関係は示す。このことは、剥離流れ上流側上弦材からの第 1 次剥離と床版端部からの第 2 次剥離とが合致して結果生じるものとし、上流側上弦材上端と床版上端部とのすき間角と迎角との差

$$\gamma = \beta - \alpha = [\tan^{-1}\{2(h+h_0)/(W+b-W_b)\}] - \alpha \quad \dots \dots \dots \quad ①$$

の関係式で表わされたパラメータ  $\gamma$  と発振風速  $V_{cr}$  との関係を整理したもののが Figs. 5, 6 である。ここで主構間隔を  $W$ 、主構部材幅を  $b$ 、床版幅を  $W_D$ 、床版厚さを  $h_0$ 、床版高さを  $h$ 、迎角を  $\alpha$  とした。Fig. 5 は BTM-W-D<sub>4</sub> についての  $V_{cr}-\gamma$  の関係を示す図であり、主構間隔  $W=26$  cm では他の主構間隔の場合と異なり傾向を示していない。Fig. 6 は BTM-W-D<sub>0</sub> についての  $V_{cr}-\gamma$  の関係を示し、迎角が大きくなるほど流れの発振風速が低くなり、どのケースの場合も同様の傾向を示している。Fig. 7 は BTM-W-D<sub>0</sub> のケースをパラメータ  $a$  を用いて次の近似式で表わしたものである。さらにこれより  $a$  は  $W'$  (主構間隔 / 床版幅  $W_D$ ) に  $F_3$  2 次式および  $F_3$  3 次式に  $F_3$  で近似させたものである。

$$V_{cr} = a \gamma^n + 3 \quad (n: \text{radian}) \quad \dots \dots \dots \quad ②$$

$$n = C_1 W'^2 + C_2 W' + C_3 \quad \dots \dots \dots \quad ③$$

$$a = d_1 W'^3 + d_2 W'^2 + d_3 W' + d_4 \quad \dots \dots \dots \quad ④$$

Fig. 8 は  $n$  および  $a$  と主構間隔  $W$  との関係を示したもので、 $n$  の値は各床版高さにおいて同一値としその対応する  $a$  を求めたものである。以上の関数式は任意の主構間隔 ( $26 \leq W \leq 34$ ) での発振風速を求めることが可能である。このようにデータの集積により、半実験的で、耐風設計上評価できるパラメータを探索できることと考えられる。

4. あとがき----以上の検討を簡単にまとめて (1) 主構間隔および床版高さの違いで耐風性状に大きく関わり、最適部材配置が存在することを如実に示している。(2) 主構間隔を決定するうえで、式 (3) は一つの目安となるであろう。(3) 発振風速と部材配置との関係を定量的に把握するためには、静的空気力係数や表面圧力分布と断面形状との関係を探究し、フランク特性を支配的に左右するパラメータについてより詳細に検討する必要があつた。

#### (参考文献)

- 1) 久保、宮田、伊藤 : 土木学会33回講演概要集 (10月1978)
- 2) 久保、加藤、重広、他 : 第5回耐風性シンポジウム論文集
- 3) 久保、加藤、宮田 : 土木学会34回講演概要集 (10月1979)

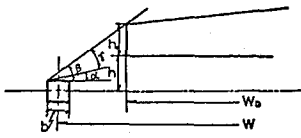


Fig. 4 End Geometry of Model

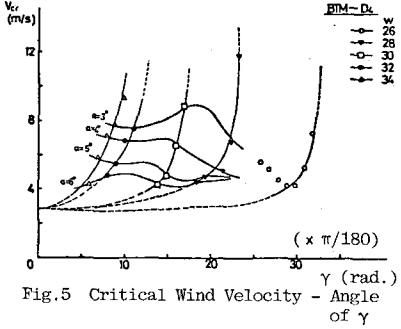


Fig. 5 Critical Wind Velocity - Angle of Y

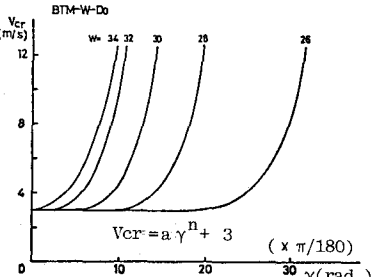
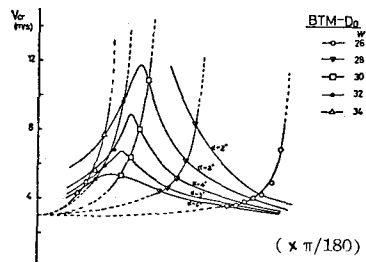


Fig. 6 Critical Wind Velocity by the Equation of Approximation

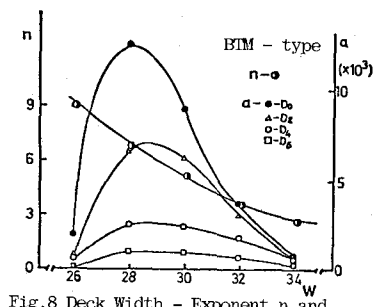


Fig. 8 Deck Width - Exponent n and Coefficient a of gamma